

## ФОТОЭЛЕКТРИЧЕСКИЕ СВОЙСТВА ЭПИТАКСИАЛЬНЫХ АРСЕНИД-ГАЛЛИЕВЫХ $p^+ - \nu - \pi - n^+$ -СТРУКТУР

Воронин С. Т., Кравченко А. Ф., Шерстяков А. П., Горбушов К. В.

Установлено, что  $p^+ - \nu - \pi - n^+$ -структуры с S-образной ВАХ имеют участок с сублинейной зависимостью тока от напряжения. На этом участке удельные токовые и вольтовые фоточувствительности максимальны и достигают значений  $2.7 \cdot 10^5$  и  $1.5 \cdot 10^4$  см<sup>2</sup>/Вт соответственно. Впервые достигнуто значение интегральной вольтовой фоточувствительности  $8.3 \times 10^9$  В/Вт. Это связано с наличием встроенного  $\nu - \pi$ -перехода с высотой барьера  $\Delta E_{\nu\pi} = 0.81$  эВ в высокоомной базе и выполняющего функции слоя умножения и последующего эффективного разделения в области своего ОПЗ. Проводимость высокоомных  $\nu$ - и  $\pi$ -областей модулируется протекающим дрейфовым током НЗ, движущимся с амбиполярной скоростью  $v_a$ . На фотовозбуждение в области собственной полосы поглощения исследуемая структура реагирует подобно фотодиоду с обратно смещенным  $\nu - \pi$ -переходом, причем уменьшение сопротивления его сопровождается усиливанием инжекции из прямо смещенных контактных  $p^+ - \nu$ - и  $\pi - n^+$ -переходов, т. е. имеет место инжекционное усиление, что и обеспечивает повышенные значения вольтовой и токовой фоточувствительностей.

Исследование фотоэлектрических свойств структур с «длинной» базой, компенсированной глубокими примесными центрами, представляет интерес из-за их высокой фоточувствительности. До сих пор проводились исследования фотоэлектрических свойств  $p - \pi - \nu - n$ -структур GaAs<Fe> [1-4]. Особенностью таких структур является наличие отрицательной и положительной фотопроводимости (ФП) при освещении светом с  $h\nu = 1.36 - 0.90$ ,  $h\nu > 1.36$ ,  $h\nu < 0.8$  эВ соответственно, а также вольтамперной характеристики (ВАХ) S-типа. В данной работе впервые исследованы  $p^+ - \nu - \pi - n^+$ -структуры типа тиристорной, но с высокоомным  $\nu - \pi$ -переходом в базе, легированной одновременно оловом и железом. Фотоэлектрические свойства таких структур существенно отличаются от приведенных. Статические токи в  $p^+ - \nu - \pi - n^+$ -структурах, смещенных в пропускном направлении, определяются инжекционной модуляцией заполнения глубоких уровней (ГУ), вследствие чего на ВАХ возникает область сублинейной зависимости тока «насыщения». В отличие от  $p^+ - \nu - n$ - [5] или  $n^+ - \nu - n^+$ -структур [6] с аккумуляцией вблизи  $\nu - n^+$ -перехода в пассивных структурах происходит инжекционное обеднение электронов и дырок в самой базе около  $\nu - \pi$ -перехода. Наличие обратно смещенного  $\nu - \pi$ -перехода способствует более эффективному разделению носителей заряда (НЗ) при общем относительном обеднении в базе. В этой работе сообщаются результаты исследования особенностей двойной инжекции НЗ в компенсированной  $\nu - \pi$ -базе  $p^+ - \nu - \pi - n^+$ -структур, а также их фотоэлектрические свойства при прямом и обратном смещениях.

### Э ф ф е к т и н ж е к ц и о н н о г о обеднения

В структурах со встречным направлением диффузии и дрейфа возможно убывающее или нарастающее распределение неравновесных НЗ. Из общих соображений следует, что распределение НЗ в  $p^+ - \nu - \pi - n^+$ -структурах имеет минимальное значение:

$$n^{\min}(d/2) \simeq p^{\min}(d/2) \simeq p_{2f} = N_v \exp[-(E_{2f} - E_v)/k_B T]$$

на границе  $\nu-\pi$ -перехода и обусловлено термополевой эмиссией дырок. Здесь  $d/2=d_\nu=d_\pi$ ,  $N_s$  — плотность состояний в валентной зоне,  $E_{2t}-E_\nu$  — энергия ионизации двухзарядных ГУ,  $k_B$  — постоянная Больцмана,  $T$  — температура. Следовательно, можно считать, что для области  $x$  от 0 до  $d/2$  имеем [7]

$$p(x) \simeq p^{\text{max}}(d/2) + \Delta p(0) \exp[-(aL^*J/2 - 1)x/L^*], \quad (1)$$

где  $\Delta p(0)$  — граничное значение концентрации НЗ для  $x=0$ ,  $J$  — плотность тока,  $L^*=L_a/\{1+(L_{dr}/2L_d)^2\}^{1/2}$ ,  $L_{dr}=\vartheta_a \tau_p$  — длина биполярного дрейфа дырок,  $\vartheta_a=(J/qb)(N_s-N_D)/N_D p_{2t}$  — скорость биполярного дрейфа,  $b=\mu_n/\mu_p$  — отношение подвижностей электронов и дырок,  $\tau_p$  — рекомбинационное время жизни дырок,  $q$  — заряд электрона,  $L_a=\sqrt{2D_p}\tau_p$  — длина амбиполярной диффузии,  $D_p$  — коэффициент диффузии дырок,  $a=\vartheta_a/2D_p J$ . Соответственно для области  $x$  от  $d/2$  до  $d$  распределение для неравновесных электронов имеет вид [7]

$$n(x) \simeq n^{\text{max}}(d/2) + \Delta n(d) \exp[-(aL^*J/2 + 1)(d-x)/L^*], \quad (2)$$

где  $\Delta n(d)$  — граничное значение концентрации для  $x=d$ . Тогда падение напряжения на  $\nu$ - и  $\pi$ -областях без учета  $p^+-\nu$ - и  $\pi-n^+$ -переходов, смешенных в пропускном направлении, равно [5]

$$V_\nu \simeq V_0 \exp(Jsd/2), \quad (3)$$

где

$$V_0 \simeq 2[q\mu_p(b\gamma + b + 1)p_{2t}a]^{-1}, \quad (\gamma = \tau_n/\tau_p), \quad (4)$$

$\tau_n$  — рекомбинационное время жизни электронов. Важным условием наблюдения ВАХ типа (3) является

$$Jsd > 2. \quad (5)$$

Оно выполняется в случае, когда токи диффузии и дрейфа сравнимы, а плотность тока  $J$  определяется модуляцией заполнения ГУ. Этот своеобразный диффузионно-дрейфовый режим отличается повышенной чувствительностью к внешним воздействиям — освещению, температуре и др.

### Изготовление структур

Методика изготовления структур заключалась в эпитаксиальном жидкокристаллическом выращивании слоев  $\nu$ - и  $\pi$ -типа с концентрацией свободных электронов и дырок  $n_\nu$  и  $p_\pi \sim 10^{12} \text{ см}^{-3}$  соответственно. Подложкой служил арсенид галлия, легированный оловом, с концентрацией электронов  $n^+ = 10^{18} \text{ см}^{-3}$ . Слои легированы одновременно оловом и железом, однако концентрация олова в слое  $\nu$ -типа была примерно в 2 раза больше, чем в слое  $\pi$ -типа, при одинаковой концентрации атомов железа  $N_\text{Fe} \simeq (1 \div 2) \cdot 10^{16} \text{ см}^{-3}$ . Таким концентрациям соответствует величина потенциального барьера  $\nu-\pi$ -перехода  $\Delta E_{\nu\pi} = 0.81 \text{ эВ}$ . Слой  $p^+$ -типа легированся германием при концентрации дырок  $p^+ = 10^{18} \text{ см}^{-3}$ . Толщина слоев  $d_\nu = d_\pi = 10 \div 13 \text{ мкм}$ ,  $d_{p^+} = 4 \div 5 \text{ мкм}$ . Площадь меза-структур  $S = 10^{-4} \text{ см}^2$ .

### Исследование ВАХ

Типичные ВАХ при комнатной температуре имели вид, показанный на рис. 1 для одной из  $p^+-\nu-\pi-n^+$ -структур. В отличие от  $p^+-\nu-n^+$ - или  $n^+-\nu-n^+$ -структур [6] вид ВАХ при прямом и обратном напряжениях смещения существенно различен. При прямом смещении на ВАХ имеется экспоненциальный участок, описываемый выражением

$$J = J_s \exp[q(V + V_\kappa)/Ck_B T], \quad (6)$$

где  $J_s$  — плотность тока насыщения,  $V_\kappa \simeq (k_B T/q) \ln(n_0 p_0 / p^+ n^+)$  — диффузионный потенциал  $p^+-\nu$ - и  $\pi-n^+$ -переходов,  $C = \text{const}$ . Кривая  $\gamma$  соответствует расчету по (6) для параметров  $J_s = 2 \cdot 10^{-6} \text{ А/см}^2$ ,  $V_\kappa = 0.32 \text{ В}$ ,  $C = 4$ . Величина  $J_s$

была определена из измерений ВАХ при обратном смещении. После экспоненциального участка на ВАХ имеется сублинейный участок, описываемый по (3) и (4). Для наглядности этот участок ВАХ приведен в полулогарифмическом масштабе для кривой 1'. Расчетная кривая 8 построена для параметров  $E_{2t} - E_p = 0.52$  эВ,  $\mu_p = 300$  см<sup>2</sup>/В·с,  $b = 10$ ,  $\tau_p = 10^{-9}$  с,  $\tau_n = 10^{-7}$  с. Тогда  $\bar{v}_a = (2 \div 9) \times 10^5$  см/с,  $a = 5 \cdot 10^6$  см/А и  $V_0 = 0.4$  В, что согласуется с экспериментом. При напряжении более 10 В наблюдается сверхлинейный рост тока, что, вероятно, обусловлено образованием лавины в области  $\nu - \pi$ -перехода. При  $V_n = 60 - 120$  В

происходило переключение в низкомонное состояние, причем остаточное напряжение не превышало 3—3.5 В. Время переключения  $t_n$  составляло  $10^{-7} - 10^{-8}$  с и уменьшалось с ростом тока инжеции.

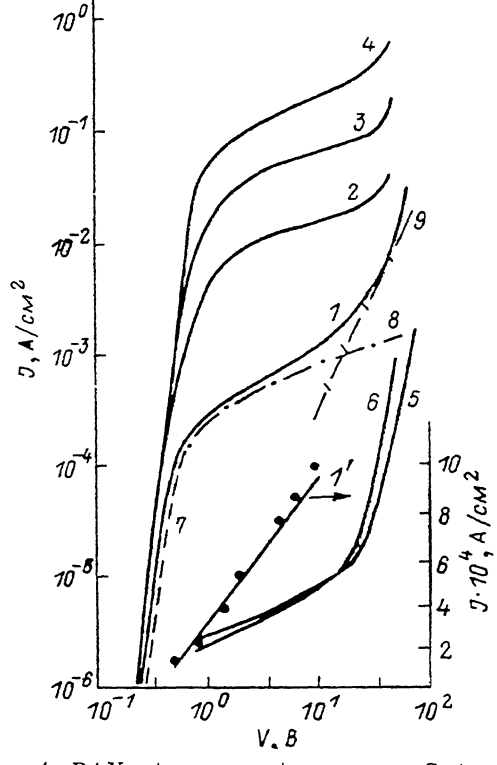


Рис. 1. ВАХ  $p^+ - \nu - \pi - n^+$ -структурь GaAs при прямом (1—4) и обратном (5, 6) смещениях, в темноте (1, 1', 5) и при освещении светом (2—4, 6).  $E_{hv} = 1.43$  эВ; мощность  $P_{hv} \cdot 10^{-4}$ , Вт/см<sup>2</sup>: 2 — 0.7; 3 — 2.6; 4 — 5.7; 6 — 5.7; 7—9 — расчетные кривые.

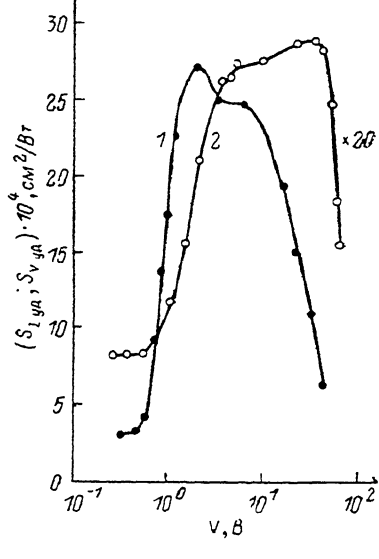


Рис. 2. Зависимость удельной токовой  $S_V$  (1) и вольтовой  $S_I$  (2) чувствительности от напряжения смещения.  $P_{hv} = 7 \cdot 10^{-5}$  Вт/см<sup>2</sup>;  $E_{hv} = 1.43$  эВ.

### Фотовозбуждение

Влияние освещения приводило к возрастанию тока, согласно рис. 1 (кривые 2—4). Для кривой 2 (рис. 1)  $a = 2.5 \cdot 10^5$  см/А, что означает его уменьшение в 20 раз по сравнению с величиной  $a$  для темновой кривой 1. Это согласуется с теорией, так как при освещении происходит уменьшение биполярной скорости дрейфа  $\bar{v}_a (P_{hv})$  и соответствующее увеличение характеристической длины распределения  $L^*$  в функциях (1) и (2). Удельную вольтовую  $S_V$  и токовую  $S_I$  чувствительности определяли для ВАХ (рис. 1) соответственно по выражениям

$$S_V = (V_t^2 - V_{cb}) / V_t^2 P_{hv}, \quad S_I = (I_{cb} - I_t) / I_t^2 P_{hv}, \quad (7)$$

где  $P_{hv}$  — интенсивность освещения (в Вт/см<sup>2</sup>),  $V_{cb}$ ,  $V_t$ ,  $I_{cb}$ ,  $I_t$  — напряжение и ток при освещении и в темноте. Соответствующие интегральные чувствительности равны

$$S_V^{\text{инт}} = S_V \cdot V_t / S, \quad S_I^{\text{инт}} = S_I \cdot I_t / S. \quad (8)$$

Результаты приведены на рис. 2, где максимальные значения фоточувствительности составляли  $S_I^{\text{макс}} = 2.7 \cdot 10^5$  и  $S_V^{\text{макс}} = 1.5 \cdot 10^4$  см<sup>2</sup>/Вт. Максимальные значения

интегральной фоточувствительности  $S_{V \text{ инт}}^{\max} = 8.3 \cdot 10^9 \text{ В/Вт}$  и  $S_I^{\max} = 480 \text{ А/Вт}$  при напряжении смещения  $V < V_n$ . Такие высокие значения вольтовой фото-

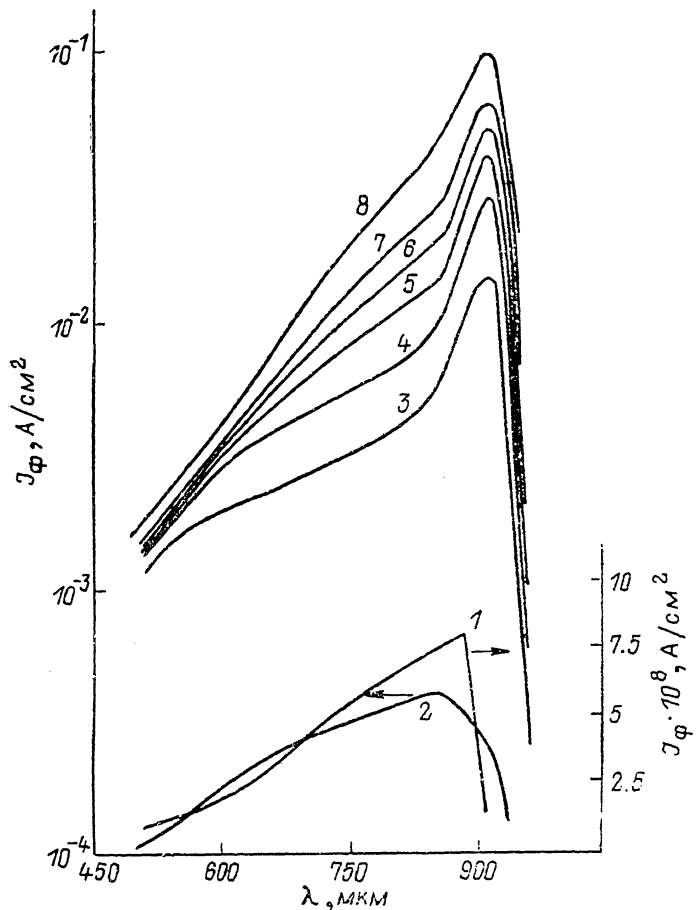


Рис. 3. Спектральная зависимость плотности фототока  $J_\phi$ .

Напряжение смещения, В: 1 — 0; 2 — 0.35; 3 — 1; 4 — 2; 5 — 4; 6 — 6; 7 — 10; 8 — 20.  $P_{hv} = 2.5 \times 10^{-6} \text{ Вт/см}^2$ .

чувствительности являются следствием глубокой внутренней обратной связи по току и нами достигнуты впервые. Спектральные зависимости плотности фототока

при различных напряжениях смещения в области собственного и примесного поглощения приведены на рис. 3, 4 соответственно. Видно, что максимум спектральной чувствительности для собственного поглощения смещается в область меньших энергий с ростом напряженности электрического поля в базе.

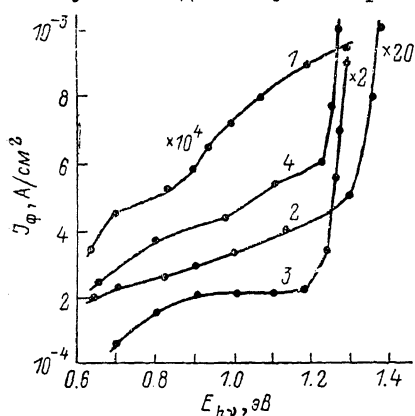


Рис. 4. Спектральная зависимость плотности фототока  $J_\phi$  в области примесного поглощения.  $P_{hv} = 3.5 \cdot 10^{-6} \text{ Вт/см}^2$ ; напряжение смещения, В: 1 — 0; 2 — 1; 3 — 2; 4 — 4.

Это, вероятно, связано с разогревом инжектированных НЗ в электрическом поле базы, достигающем  $10^4 \text{ В/см}$  на сублинейном участке. Плотность фототока в примесной области (рис. 4) также резко возрастает при увеличении напряже-

ния смещения, что мы связываем с увеличением сечения поглощения квантов света для ГУ с ростом электрического поля в базе.

Авторы благодарят В. Т. Леонтьева, С. Н. Коляденко, И. В. Мордуховскую за помощь в работе и В. Н. Шумского за полезные дискуссии.

#### Список литературы

- [1] Виллов А. А., Гаман В. И., Диамант В. М., Фукс Г. М. // ФТП. 1980. Т. 14. В. 4. С. 625—628.
- [2] Гаман В. И., Фукс Г. М. // ФТП. 1982. Т. 16. В. 6. С. 1133—1135.
- [3] Гаман В. И. // Изв. вузов СССР. Физика. 1983. Т. 26. В. 1. С. 79—95.
- [4] Хлудков С. С. // Изв. вузов СССР. Физика. 1983. Т. 26. В. 1. С. 67—78.
- [5] Leiderman A., Karageorgy-Alkalaev P. // Phys. St. Sol. (a). 1979. V. 51. N 1. P. 63—70.
- [6] Карагеоргий-Алкалаев П. М., Лейдерман А. Ю. // Глубокие уровни в полупроводниках / Под ред. В. И. Фистуля. Ташкент, 1981. С. 145—154.
- [7] Карагеоргий-Алкалаев П. М., Лейдерман А. Ю. Фоточувствительность полупроводниковых структур с глубокими примесями. Ташкент, 1981. 200 с.

Новосибирский электротехнический институт связи  
им. Н. Д. Псурцева

Получена 24.04.1986  
Принята к печати 12.11.1988